

題目：構造物-基礎系の動的相互作用に関する実験的研究

京都大学 学生会員

堀 正幸

運輸省

正会員

原 精一

○京都大学

学生会員

角江俊昭

1. まえがき： 本研究で対象とする構造物とは、上部構造物を支える杭基礎やケーソン基礎などの地盤中に根入れされた基礎のことである。地震時において、基礎から表層中に伝播する地震動により基礎とそこまでの周囲地盤の間には、複雑な相互作用現象が生じる。地震時の上部構造物および基礎の振動形態は二つの相互作用の結果であると考えることができる。この相互作用は、地盤の側から見れば 地盤は基礎に対して、次の二通り相異なる、反応をしていふと考えられる。1) 周囲地盤が基礎の動きを支えようとする働き、2) 周囲地盤が基礎を押し倒そうとする働き。 本研究は、試作した実験装置を用いて、周囲地盤の二つの働きについて実験的考察を加えておるものである。

2. 実験装置および方法： 表層中のある深さの薄い半無限の層を切り出したと考えると、二の層は、地震時に於いて、直線的にせん断変形を受けていると考えることができる。図1はこのような変形を土試料に与えるための装置せん断箱である。せん断箱中の砂試料は長さ30cm、高さ30cm、幅30cmとなるようにした。基礎模型は鉄製であり、モルタルで、厚さ3cm、高さ30cm、幅が5cmと30cmの2種類である。実験は、せん断箱又は、基礎模型一方固定、他方可動の条件で行つて、以下のように呼ぶ。

せん断箱可動 幅30cmの基礎模型固定実験を30P-M.

せん断箱固定 幅30cmの基礎模型可動実験を30P-M.

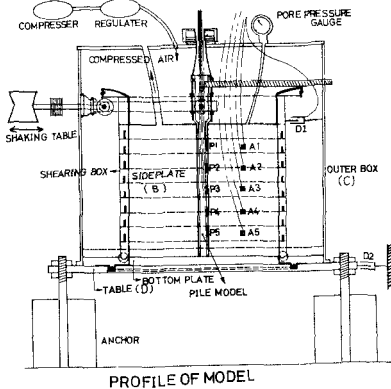
せん断箱可動 幅5cmの基礎模型固定実験を5P-M.

せん断箱固定 幅5cmの基礎模型可動実験を5P-M.

せん断箱又は、基礎模型に正弦的強制変位を与えた(1)に松平式振動台(2)に。土試料として、気乾状態、豊浦標準砂を用いた。本装置最大の特徴として、ある深さでの土被り圧を再現するため、砂表面に空気圧を載荷できることには、(3)である。振動土圧は共和電業製作所計

、強制変位は、差動トランス型変位計により測定し、(4)を直後に後、電磁オシログラフにより記録した。所定の振動数及び、変位振幅に達した後、空氣圧を切出し、記録終了後、変位振幅、振動数の順に、更に減じた。

3. 実験結果および考察： 図2～図5は二次元モデル実験(30P-M, 30P-M)の結果であり、図6は三次元モデル実験(5P-M, 5P-M)の結果である。変位振幅は0.5mm、空気圧は失水され、約1.0, 1.5kg/cm<sup>2</sup>である。各回には振動数が、0.3, 3, 6, 15Hzの場合につりく、一括して掲げてある。これら(1)から、ハイドロカクテルにかけても、振動数によらず振動土圧変動分布が変化が見られることは分かる。ニリニとは、砂の物理性の非時間依存性と考え合せると、砂の慣性力が、振動土圧に与えた影響が無視できず実験が可動であることを意味している。



PROFILE OF MODEL

Fig.1

図2~図5より二元モデル実験結果が次の傾向を示していふことがわかる。

1)拘束圧0kg/cm<sup>2</sup>では、30P-M試験、30P-F試験とともに、深度中央で振動土圧がピークとなる山形分布である。

2)30P-M試験では、空気圧0.5kg/cm<sup>2</sup>以上では、P1が極端に大きく、P2~P4はほぼ等しい値となる。これは空気圧載荷のため、砂の剛性が高まり、その結果、基礎模型がたわむと言えれば、空気圧0.5kg/cm<sup>2</sup>以上で△角形分布に移行することがわかる。

3)30P-F試験では、空気圧の上昇とともにP1の値が減少し、空気圧1.5kg/cm<sup>2</sup>では、ほとんど遷るが、空気圧1.5kg/cm<sup>2</sup>になって、初めて△角形分布に移行することがわかる。これらの実験結果から、基礎模型周囲地盤の2つの働きが、次のようには、てあると言えられる。

1)周囲地盤が基礎模型を支持する力は、空気圧0.5kg/cm<sup>2</sup>以上では、基礎の変形に比例して生じる。砂の単位重量を1.6g/cm<sup>3</sup>とすれば、空気圧0.5kg/cm<sup>2</sup>では、深さ約3.1m<sup>2</sup>の土被り圧に相当する。表層の厚さは現実には、数mオーダーであるから、深さ3.1mは地表面にはほぼ等しい考え方よからう。

2)周囲地盤が、基礎模型を押す力は、空気圧1.5kg/cm<sup>2</sup>以上には、初めて地盤の変形に比例して生じる。これは、約4.3m<sup>2</sup>の深さ×土被り圧に相当する。周囲地盤の単位変形当たりの基礎を押す力が地表面直下で小さくなることは、地震時に、地表面近くで、地盤の変形が抑制されといふことを念じてみると、耐震設計上有利な特性であると言えられる。

三次元モデル実験でも、二元モデル実験とほぼ同様の結果を得られたが、せん断箱の振動方向に平行な側壁により、振動方向に直角方向への砂の変形が拘束されてしまうため、三次元モデル実験の方が、二元モデル

実験との振動土圧分布率が、出でない結果となつた。

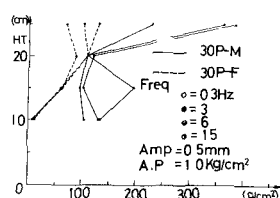


Fig. 2 振動土圧深度分布

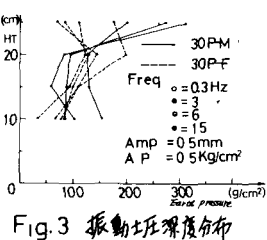
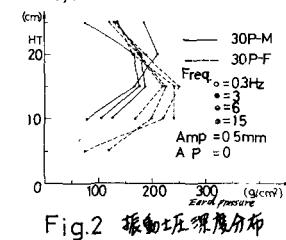


Fig. 3 振動土圧深度分布

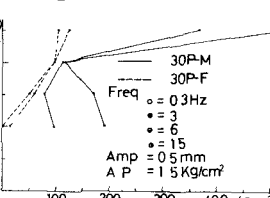
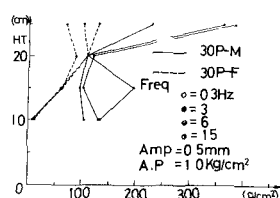


Fig. 5 振動土圧深度分布

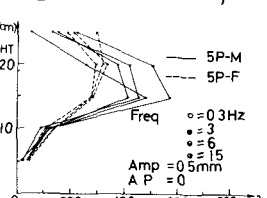


Fig. 6 振動土圧深度分布

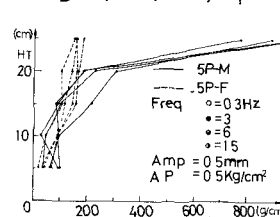


Fig. 7 振動土圧深度分布

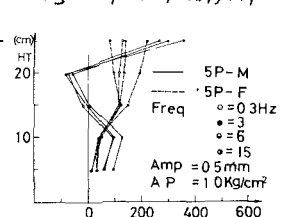


Fig. 8 振動土圧深度分布

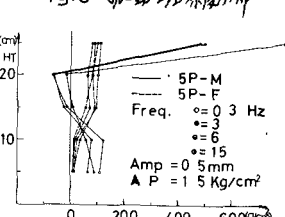


Fig. 9 振動土圧深度分布